

物理計測法特論

No.4

第5章：共振現象の利用

5. 共振現象の利用

- 共振：幅広い分野の現象
 - － 力学系
 - － 電気系
 - － 光学系
 - － 量子系
- 物理的な構造を反映する→スペクトロスコピー
- 小さな変化が拡大されて見える→計測法への応用

5.1 共振系

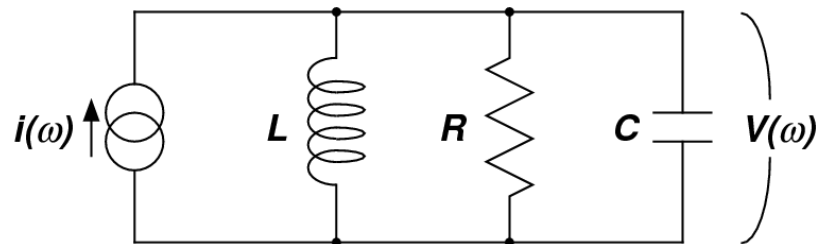
- 電気回路

インピーダンス: $Z(\omega) = V(\omega)/i(\omega)$

アドミッタンス: $Y(\omega) = 1/Z(\omega)$

$$V_L = L \frac{di}{dt} \rightarrow Z_L(\omega) = i\omega L$$

$$V_C = \frac{1}{C} \int idt \rightarrow Z_C(\omega) = \frac{1}{i\omega C}$$



- LCR並列共振回路

- 全体のアドミッタンス

$$Y(\omega) = \frac{1}{i\omega L} + \frac{1}{R} + i\omega C$$

- 全体のインピーダンス

$$\begin{aligned} Z(\omega) &= \left(\frac{1}{i\omega L} + \frac{1}{R} + i\omega C \right)^{-1} \\ &= \frac{i\omega L}{1 - \omega^2 LC + i\omega L/R} \end{aligned}$$

5.1 共振系

- 定電流源で駆動: Z の大きさが出力電圧

$$Z(\omega) = |Z(\omega)|e^{i\phi(\omega)}$$

$$|Z(\omega)| = R \frac{\omega_0 \omega / Q}{\sqrt{(\omega_0^2 - \omega^2)^2 + \omega^2 \omega_0^2 / Q^2}}$$

$$\phi(\omega) = \tan^{-1} \frac{(\omega_0^2 - \omega^2)Q}{\omega \omega_0}$$

- 共振周波数

$$\omega_0 = \frac{1}{\sqrt{LC}}$$

- Q値

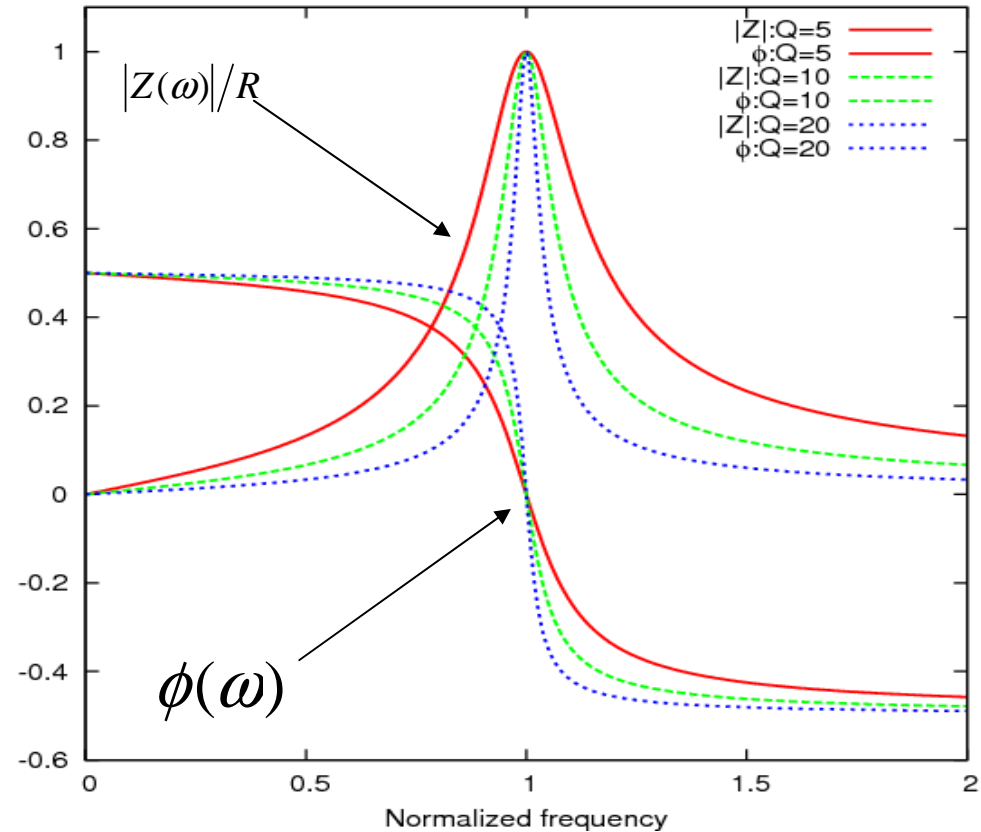
$$Q = \frac{R}{L\omega_0} = R\sqrt{\frac{C}{L}}$$

- 線幅 (FWHM): 中心の値から振幅の2乗は半分になる周波数幅

$$\Delta\omega = \frac{\omega_0}{Q}$$

5.2 High- Q 共振器

- Q の高い共振系：
 - 共振幅が狭く鋭い共振
 - 位相変化が急峻
- Q を決める原因
 - 共振系に存在する損失
- High- Q 共振器
 - LCR : 10-100
 - 機械系: 10^3 - 10^9
 - 単結晶@低温: 10^8 - 10^9
 - 超伝導空洞: 10^9



5.1 共振系

- 共振系の自由減衰

$$x(t) = Ae^{-\gamma t/2} \sin(\omega_0 t + \phi_0) \quad (\gamma = \omega_0/Q, Q \gg 1)$$

$$E(t) \propto \overline{x^2} = \frac{1}{2} A^2 e^{-\gamma t}$$

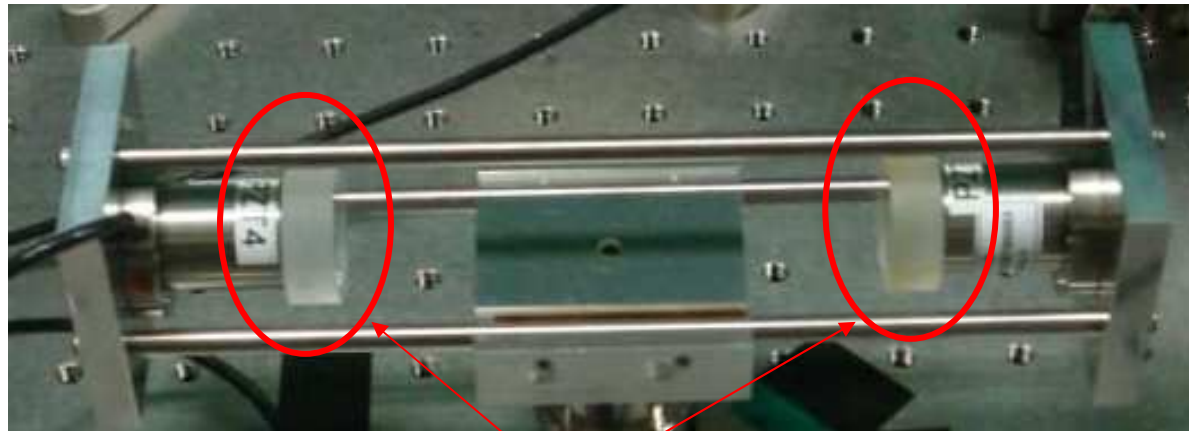
- 1周期の間のエネルギー変化

$$\frac{\Delta E}{E} = 1 - \exp\left(-\gamma \frac{2\pi}{\omega_0}\right) = \frac{2\pi}{Q}$$

- Q : エネルギー損失の逆数となる

5.2 High- Q 共振器

- レーザー光: 理想的な正弦波に近い電磁波
- 光共振器: 内部に光を閉じ込め、共振させる。これを利用すると非常に高感度な計測が可能になる。
- 代表例: Fabry-Perot型 → 2枚の鏡を向かい合わせて設置したもの



鏡

5.2 High- Q 共振器

- 光共振器 (Fabry-Perot 共振器)

$$E_i = e^{i\omega t}$$

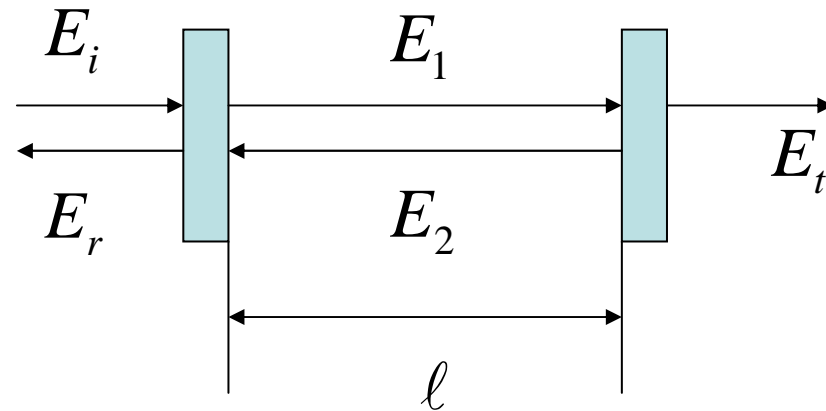
$$E_r = -rE_i + tE_2$$

$$E_1 = tE_i + rE_2$$

$$E_t = tE_1 e^{-ikl}$$

$$E_2 = rE_1 e^{-i2kl}$$

$$k = \omega/c$$



$$\frac{E_r}{E_i} = -r + \frac{rt^2 e^{-i2kl}}{1 - r^2 e^{-i2kl}}$$

$$\frac{E_t}{E_i} = \frac{t^2 e^{-ikl}}{1 - r^2 e^{-i2kl}}$$

5.2 High- Q 共振器

- 透過光強度

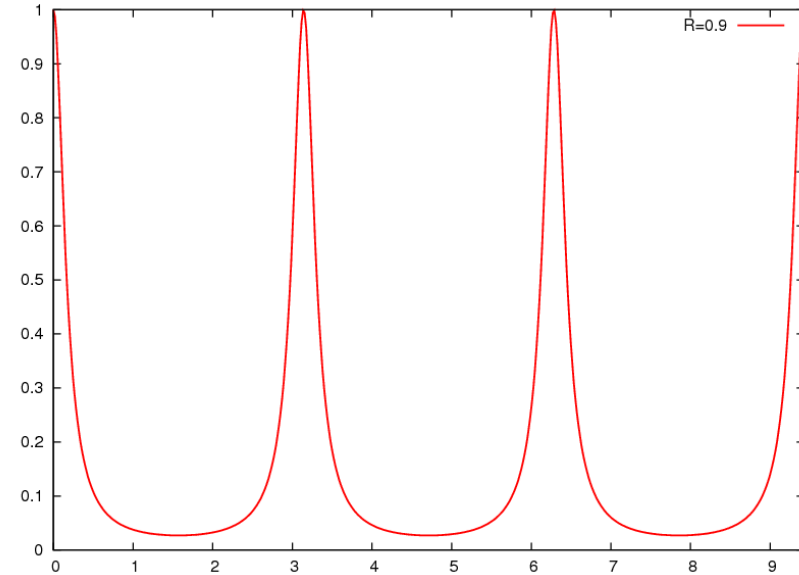
$$I_t = \left| \frac{E_t}{E_i} \right|^2 = \frac{T^2}{1 + R^2 - 2R \cos(2\ell k)}$$

$$= \frac{T^2}{(1-R)^2} \frac{1}{1 + \frac{4R}{(1-R)^2} \sin^2 k\ell}$$

$$T + R = 1, \quad 1 - R \ll 1$$

$$k\ell = n\pi + \varepsilon$$

$$I_t = \frac{1}{1 + \frac{4R}{(1-R)^2} \varepsilon^2} \quad \frac{4R}{(1-R)^2} \varepsilon^2 = 1 \rightarrow \varepsilon = \frac{1-R}{2\sqrt{R}}, \quad \varepsilon = \pi\Delta\nu\ell/c \rightarrow \Delta\nu = \frac{(1-R)c}{2\pi\ell\sqrt{R}}$$



$$2\pi\nu_{\text{FSR}}\ell/c = \pi \rightarrow \nu_{\text{FSR}} = \frac{c}{2\ell}$$

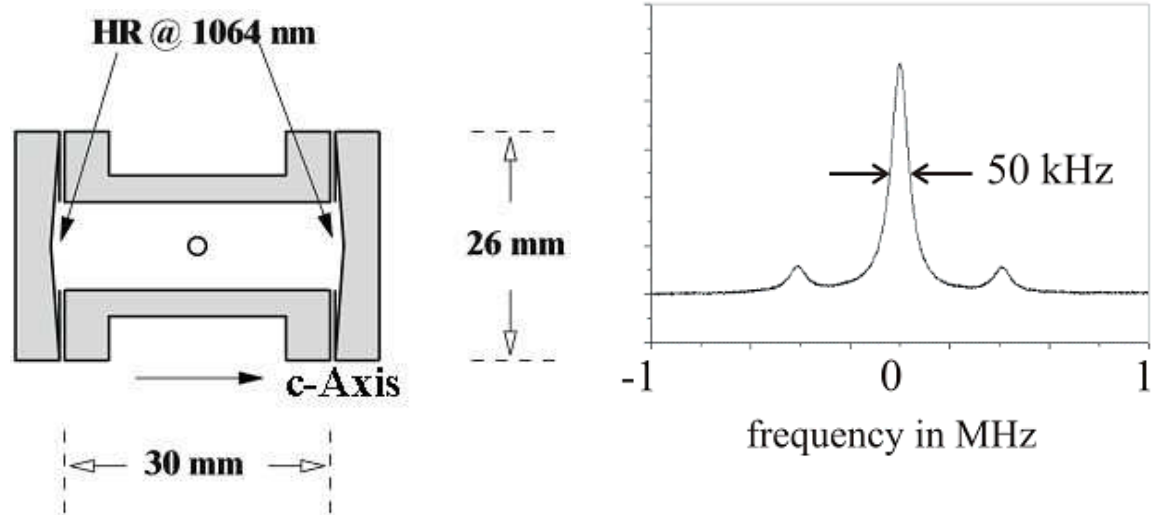
フィネス $\mathcal{F} = \frac{\nu_{\text{FSR}}}{\Delta\nu} = \frac{\pi\sqrt{R}}{1-R}$

5.2 High- Q 共振器

- 高反射率鏡

$$R = 0.99999 \rightarrow \mathfrak{S} = 3 \times 10^5$$

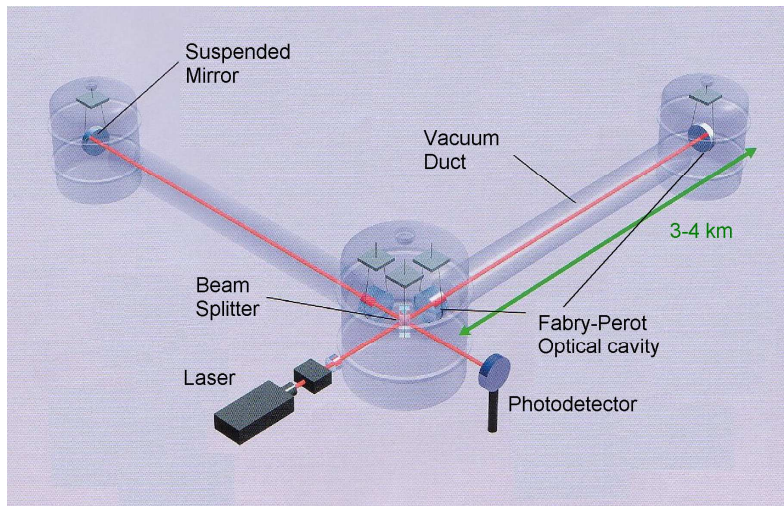
- 長さ: 10cm、波長: $1 \mu\text{m}$ $\rightarrow Q = 6 \times 10^{10}$



$$R = 0.99997 \rightarrow \mathfrak{S} = 1 \times 10^5 \rightarrow \Delta\nu = 50 \text{ kHz}$$

5.2 High- Q 共振器

- 長基線干渉計
 - 基線長が長いと相対的に線幅が狭くなる
- 重力波検出器
 - LIGO: 4 km
 - VIRGO: 3 km
 - TAMA: 300 m



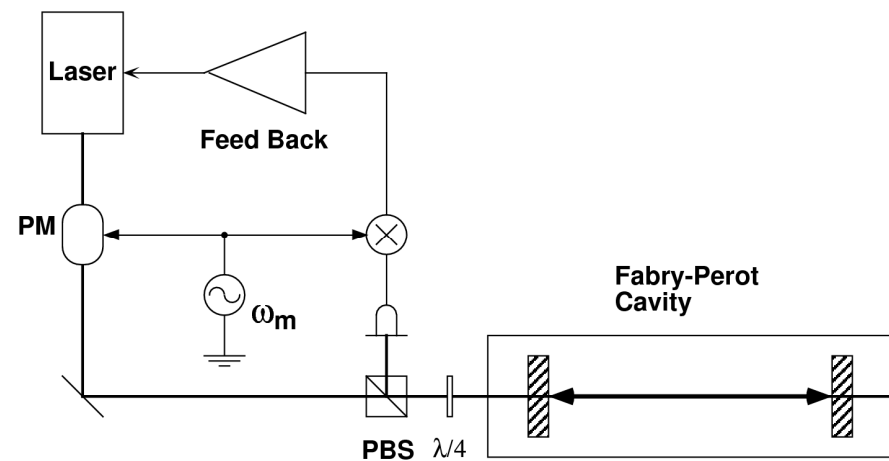
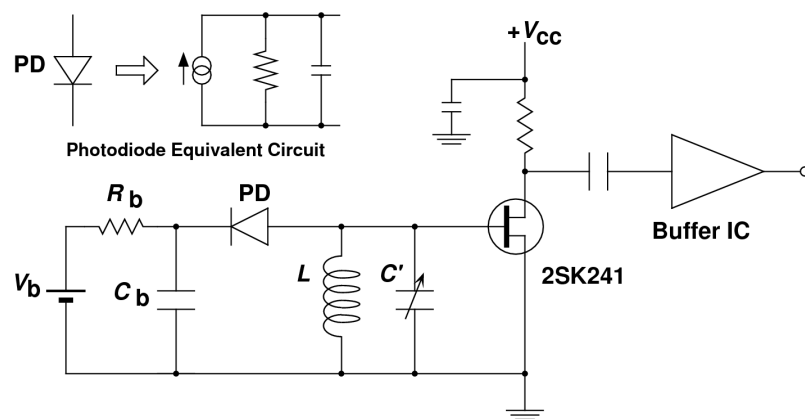
VIRGO

$$\nu_{\text{FSR}} = 50 \text{ kHz}, \mathfrak{S} = 50$$

$$\rightarrow \Delta\nu = 1 \text{ kHz}, Q = 3 \times 10^{11}$$

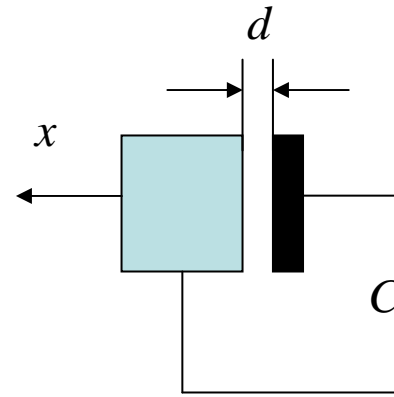
5.2 High- Q 共振器

- 共振を利用した高感度光検出回路
- 光共振器を利用したレーザーの周波数安定化システム



5.3 共振を利用した変位センサー

- 物体の変位・振動を検出するセンサー
 - 容量型センサー: 片方の極板を物体に取り付け、変位によって生じる静電容量の変化を測定する
 - コンデンサーを共振回路の一部に組み込む: 共振型センサー



$$C(x) = \frac{\epsilon_0 S}{d+x} = C_0 \left(1 - \frac{x}{d}\right),$$

$$C_0 = \frac{\epsilon_0 S}{d}$$

5.3 共振を利用した変位センサー

- 共振周波数の変化

$$\omega_0(x) = \frac{1}{\sqrt{LC(x)}} \rightarrow \frac{\partial \omega_0}{\partial x} = -\frac{\omega_0}{2C_0} \frac{\partial C}{\partial x} = \frac{\omega_0}{2d}$$

- 共振点では、振幅の変化は1次ではない

$$\frac{\partial |Z|}{\partial \omega_0} = 0 \quad (\omega = \omega_0)$$

- 位相変化を見る

$$\phi(\omega) = \tan^{-1} \frac{(\omega_0^2 - \omega^2)Q}{\omega\omega_0} \rightarrow \frac{\partial \phi}{\partial x} = \frac{\partial \phi}{\partial \omega_0} \frac{\partial \omega_0}{\partial x} = \frac{Q}{d} \quad (\omega = \omega_0)$$

- Q が高いと大きな位相変化が得られる

5.3 共振を利用した変位センサー

- 電流源

$$i(t) = i_0 \cos \omega_0 t$$

- 出力電圧

$$\begin{aligned} V(t) &= i_0 \operatorname{Re}[Z(\omega_0, x) \exp i \omega_0 t] \\ &= i_0 R (\cos \omega_0 t - \delta \phi \sin \omega_0 t) \end{aligned}$$

- ロックイン検出

$$\delta V = \frac{i_0 R \delta \phi}{\sqrt{2}} \quad \langle V_n^2 \rangle = \frac{k_B RT}{\tau_p}$$

- SN

$$SNR = \frac{(i_0 R \delta \phi)^2}{k_B RT / \tau_p} = \frac{V_0^2 Q^2}{k_B RT / \tau_p} \frac{x^2}{d^2}$$

- 電流源の振幅は、最高出力電圧 (V_0) と R の比で決まる

- Q は R に比例 \rightarrow SN は R に比例

- 発振器の周波数変化があると信号の位相が変化する

$$i(t) = i_0 \cos(\omega_0 + \delta \omega)t$$

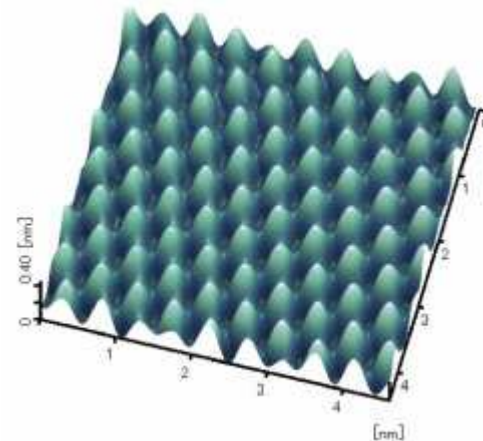
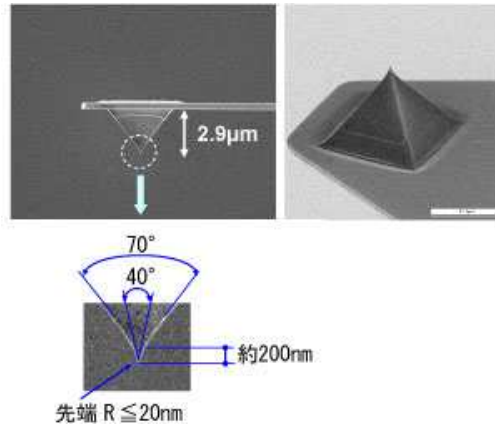
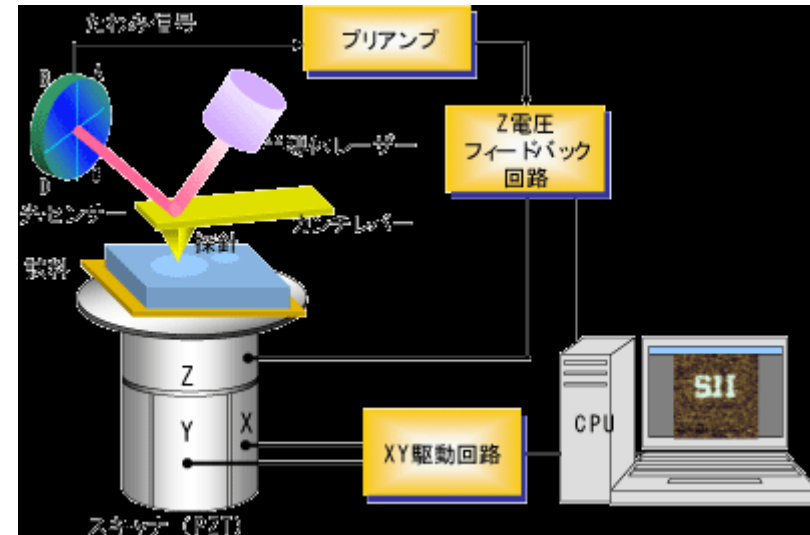
$$\delta V = \frac{i_0 R \delta \phi_\omega}{\sqrt{2}}, \quad \delta \phi_\omega = -\frac{2Q}{\omega_0} \delta \omega$$

$$\delta \phi = \delta \phi_\omega \rightarrow \frac{x}{d} = \frac{2\delta \omega}{\omega_0}$$

となり、検出限界が Q によらない
 \rightarrow 安定化が必要

5.4 共振を利用した力の測定

- 力の測定:
 - バネを用いて変位に直す。
- 微弱な力
 - 原子間力: 10^{-9}N
- 原子間力顕微鏡
- 小さなカンチレバーの変位で表面原子とカンチレバーの先のチップに働く力を測定



エスエスアイ・ナノテクノロジー株式会社のWebから引用
http://www.siint.com/products/spm/tec_mode/b_2_afm.html

5.4 共振を利用した力の測定

- 原子間力顕微鏡
 - 接触モード: 針先を接触させて力を測る
 - 非接触モード: 針先が接触させないで測定する→力が弱いので共振を利用する

運動方程式

$$m \left(\frac{d^2}{dt^2} \delta z + \gamma \frac{d}{dt} \delta z + \omega_0^2 \delta z \right) = f(x, y, z + \delta z)$$
$$\approx f(x, y, z) + \frac{\partial f}{\partial z} \delta z$$

$$m \left[\frac{d^2}{dt^2} \delta z + \gamma \frac{d}{dt} \delta z + \left(\omega_0^2 - \frac{1}{m} \frac{\partial f}{\partial z} \right) \delta z \right] = 0$$

共振周波数が変化

$$\omega_0' = \left(\omega_0^2 - \frac{1}{m} \frac{\partial f}{\partial z} \right)^{1/2}$$

面内でスキャンして像を得ることができる

